arXiv:math/0102009v1 [math.GT] 1 Feb 2001

Sur les transformations de contact au-dessus des surfaces

Emmanuel Giroux*

1er février 2008

La géométrie de contact, née des travaux de C. Jacobi et de S. Lie sur les équations différentielles et leurs symétries, a été la géométrie des transformations de contact avant d'être celle des structures de contact. On s'intéresse ici, dans un cas simple, à la topologie du groupe que ces transformations composent.

Soit S une surface et $\pi\colon V \to S$ le fibré des droites coorientées tangentes à S, traditionnellement nommé aussi fibré des éléments de contact coorientés au-dessus de S. Le champ de plans tautologique ξ_S défini sur V par

$$\xi_S(q,\delta) = \big(D\pi(q,\delta)\big)^{-1}(\delta), \quad \text{où } q \in S \text{ et } \delta \subset T_qS,$$

est l'archétype des structures de contact. Ce champ est en outre canoniquement coorienté – puisque les éléments de contact le sont – et on appelle *transformation de contact* au-dessus de S tout difféomorphisme de V qui préserve ξ_S ainsi que sa coorientation. Ces transformations engendrent un groupe $\mathcal{D}(V;\xi_S)$ dans lequel le groupe $\mathcal{D}(S)$ des difféomorphismes de S se plonge naturellement : tout difféomorphisme de S se relève à V en une transformation de contact. De même, le groupe $\mathcal{D}(V,\partial V;\xi_S)$ des transformations de contact relatives au bord – *i.e.* égales à l'identité sur ∂V – contient le groupe $\mathcal{D}(S,\partial S)$ des difféomorphismes de S relatifs au bord ou, plus exactement, tangents à l'identité le long du bord. Ces groupes et les autres espaces fonctionnels qui interviennent plus loin sont munis de la topologie de la convergence uniforme $\mathcal{C}^\infty$ sur les parties compactes. Le but principal de cet article est d'établir le résultat suivant :

Théorème 1. *Soit S une surface compacte, connexe, orientable et qui n'est ni une sphère ni un tore. Les plongements naturels*

$$\begin{aligned} \mathcal{D}(S,\partial S) &\longrightarrow \mathcal{D}(V,\partial V;\xi_S), \\ \mathcal{D}(S) &\longrightarrow \mathcal{D}(V;\xi_S) \\ \textit{et}\quad \mathcal{D}(\operatorname{Int} S) &\longrightarrow \mathcal{D}(\operatorname{Int} V;\xi_S) \end{aligned}$$

sont des 0-équivalences d'homotopie et, plus précisément, mettent en bijection les composantes connexes de la source et du but.

En fait, les plongements ci-dessus sont très probablement des équivalences d'homotopie. Au prix de complications surtout techniques, la méthode suivie ci-après semble d'ailleurs applicable aux familles – de difféomorphismes, de plongements, de structures de contact – dépendant d'un nombre quelconque de paramètres.

* Centre National de la Recherche Scientifique (UMR 5669).

Dans ce théorème, l'injectivité des applications induites au niveau des composantes connexes est évidente. Des arguments topologiques simples montrent en effet que les plongements

$$\begin{aligned} \mathcal{D}(S, \partial S) &\longrightarrow \mathcal{D}(V, \partial V), \\ \mathcal{D}(S) &\longrightarrow \mathcal{D}(V) \\ \text{et} \quad \mathcal{D}(\operatorname{Int} S) &\longrightarrow \mathcal{D}(\operatorname{Int} V) \end{aligned}$$

induisent eux-mêmes des injections. La surjectivité, en revanche, n'était apparemment pas connue – par exemple pour le disque [Ar] – et implique le résultat suivant :

Corollaire 2. *Soit S une surface compacte, connexe, orientable et qui n'est ni une sphère ni un tore. Les plongements naturels*

$$\begin{aligned} \mathcal{D}(V, \partial V; \xi_S) &\longrightarrow \mathcal{D}(V, \partial V), \\ \mathcal{D}(V; \xi_S) &\longrightarrow \mathcal{D}(V) \\ \textit{et} \quad \mathcal{D}(\operatorname{Int} V; \xi_S) &\longrightarrow \mathcal{D}(\operatorname{Int} V) \end{aligned}$$

appliquent injectivement les composantes connexes de la source dans celles du but.

Pour compléter le tableau, on décrit ci-dessous ce qu'il advient lorsque S est une sphère ou un tore.

Théorème 3. *Le groupe des transformations de contact au-dessus de la sphère est connexe.*

À titre de test, on remarque que le flot géodésique de la sphère entre les instants 0 et π mène de l'identité à la différentielle de l'application antipodale par un chemin de transformations de contact.

Lorsque S est un tore, la variété de contact (V, ξ_S) s'identifie au tore $\mathbf{T}^3$ muni de sa structure de contact canonique ξ, dont une équation de Pfaff est par exemple

$$\cos\theta\, dx + \sin\theta\, dy = 0, \qquad (x, y, \theta) \in \mathbf{R}^2/\mathbf{Z}^2 \times \mathbf{R}/2\pi\mathbf{Z}\,.$$

Théorème 4. *Soit Π le sous-groupe de $\mathrm{SL}_3(\mathbf{Z})$ constitué des transformations qui laissent invariant $\mathbf{Z}^2 \times \{0\} \subset \mathbf{Z}^3$. Le morphisme*

$$\pi_0\mathcal{D}(\mathbf{T}^3, \xi) \longrightarrow \mathrm{SL}_3(\mathbf{Z})$$

fourni par l'action sur l'homologie est injectif et a pour image Π.

Remarque. Les difféomorphismes de V qui préservent ξ_S mais pas sa coorientation forment, modulo l'action des isotopies de contact, un groupe isomorphe au produit direct de $\mathbf{Z}/2\mathbf{Z}$ par $\pi_0\mathcal{D}(V; \xi_S)$ – respectivement par $\pi_0\mathcal{D}(V, \partial V; \xi_S)$ ou par $\pi_0\mathcal{D}(\operatorname{Int} V; \xi_S)$ si on considère les difféomorphismes relatifs au bord ou les difféomorphismes de l'intérieur. Le générateur du facteur $\mathbf{Z}/2\mathbf{Z}$ correspond à l'application antipodale sur les fibres de V.

Remerciements. L'étude présentée ici a pour point de départ des conversations avec Vladimir Arnold – en mars 1994 à Paris – et avec Ana Cannas da Silva – en juillet 1997 à Park City. Par la suite, lors d'une première approche du problème basée sur l'examen des nœuds legendriens, j'ai eu plusieurs discussions utiles avec Maia Fraser. Je les remercie tous les trois. Je remercie aussi Leonid Polterovich pour m'avoir fait part de son travail récent [Po] où le théorème 1 trouve un écho.

A. Plongements et difféomorphismes de contact

Avant de démontrer les théorèmes principaux, on fait quelques observations générales sur la topologie des groupes $\mathcal{D}(V, \partial V; \xi)$ et $\mathcal{D}(V; \xi)$ pour une variété de contact (V, ξ) quelconque de dimension 3. Ces

remarques s'inscrivent dans le même esprit que la stratégie proposée par K. Honda dans [Ho] pour analyser les structures de contact tendues sur les variétés suffisamment grandes. Par convention, les structures de contact considérées ci-après sont toujours orientées et les difféomorphismes de contact préservent cette orientation.

On rappelle que toute surface F plongée dans (V, ξ) hérite d'un *feuilletage caractéristique*, noté ξF, qui est engendré par le champ de droites singulier $\xi \cap TF$. Dans la suite, ξ et F sont orientées de sorte que ξF l'est aussi. Concrètement, si $\xi = \ker \alpha$ et si ω est une forme d'aire sur F, le feuilletage ξF est défini par le champ de vecteurs Y dont le produit intérieur avec ω vaut la 1-forme induite par α sur F. Une singularité de ξF est un point de contact entre ξ et F et a donc un signe : elle est positive ou négative selon que les orientations de ξ et F coïncident ou non. Ce signe est aussi celui de la divergence de Y.

Sur une variété de contact (V, ξ), la projection $TV \to TV/\xi$ induit un homéomorphisme entre les champs de vecteurs sur V qui préservent ξ et les sections du fibré quotient $TV/\xi \to V$. Autrement dit, si ξ est le noyau d'une 1-forme α et si v est une fonction quelconque $V \to \mathbf{R}$, il y a un unique champ de vecteurs $\nabla_\alpha v$ qui préserve ξ et vérifie $\alpha(\nabla_\alpha v) = v$. La flexibilité des isotopies de contact qui en résulte fait que, comme en topologie différentielle, le groupe $\mathcal{D}(V, \partial V; \xi)$ participe à des fibrations naturelles qui peuvent aider à comprendre son type d'homotopie. Par exemple, si $F \subset V$ est une surface close et si $\mathcal{P}(F, V; \xi)$ désigne l'espace des plongements de F dans V qui induisent sur F le même feuilletage caractéristique que l'inclusion, la restriction à F détermine une fibration

$$\mathcal{D}(V, \partial V; \xi) \longrightarrow \mathcal{P}(F, V; \xi)\,.$$

D'autre part, en raison de la stabilité des structures de contact, le groupe $\mathcal{D}(V, \partial V; \xi)$ possède, dans $\mathcal{D}(V, \partial V)$, un voisinage qui se rétracte sur lui. La théorie des surfaces convexes – dont on rappelle ci-dessous quelques points utiles – fournit de même, pour $\mathcal{P}(F, V; \xi)$, un équivalent homotopique plus maniable (lemme 7).

Soit F une surface compacte, orientée, proprement plongée dans (V, ξ) et à bord vide ou legendrien[1]. On dit que F est *convexe* si elle a un voisinage produit

$$U = F \times \mathbf{R} \supset F = F \times \{0\}, \quad \text{avec} \quad \partial U = \partial F \times \mathbf{R} \subset \partial V,$$

dans lequel l'action de $\mathbf{R}$ par translations – action engendrée par le champ de vecteurs ∂_t, $t \in \mathbf{R}$ – préserve ξ. Un tel voisinage U est dit *homogène*.

Une surface convexe possède non seulement un voisinage homogène mais tout un système fondamental. En effet, si ν est la section de TV/ξ associée au champ de vecteurs ∂_t dans un voisinage homogène $U = F \times \mathbf{R}$, le fait que ∂F soit legendrien assure que le champ de vecteurs associé à toute section du type $f\nu$, où f est une fonction qui ne dépend que de t, reste tangent à ∂V. Cela résulte, pour $\xi = \ker \alpha$ et $v = \alpha(\nu)$, de la formule

$$\nabla_\alpha(fv) - f\nabla_\alpha v = vY_f \tag{$*$}$$

où Y_f est le champ de vecteurs legendrien $d\alpha$-dual de $-df\,|_\xi$.

La convexité est une propriété très facile à déceler. Une première condition nécessaire est que chaque composante L de ∂F possède, sur ∂V, un "voisinage homogène" ; on appelle ainsi, par extension, un voisinage annulaire

$$L \times \mathbf{R} \supset l = L \times \{0\}$$

dans lequel ξF est $\mathbf{R}$-invariant (figure 1). Dans ce voisinage, ξF est dirigé par un champ de vecteurs indépendant de $t \in \mathbf{R}$ et plus précisément du type $\cos(n\theta)\,\partial_\theta$, où $\theta \in \mathbf{S}^1$ paramètre L et n est un entier.

[1] Une courbe legendrienne est une courbe intégrale de ξ.

Lorsque le bord de V est lui-même convexe (ce qu'on supposera ensuite), un tel voisinage de L ne peut exister que si n n'est pas nul, *i.e.* si ξ fait un nombre non nul de tours autour de ∂V le long de L dans le sens des aiguilles d'une montre. On décrit maintenant les propriétés du feuilletage caractéristique ξF liées à la convexité.

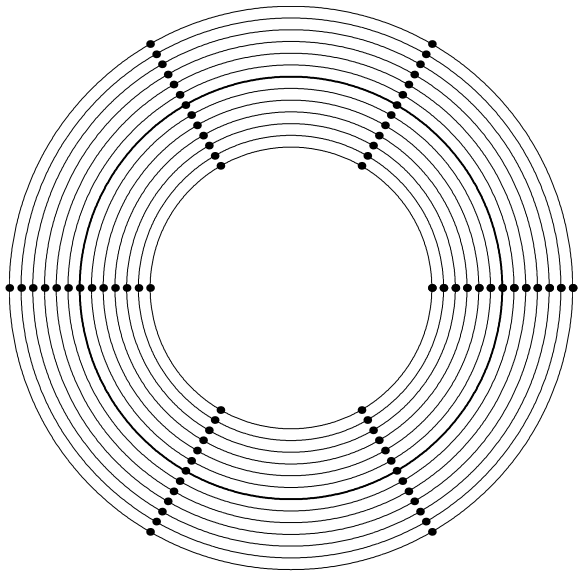

FIG. 1: Voisinage homogème d'une courbe legendrienne L sur ∂V : dans cet exemple, l'entier n vaut 3.

On considère sur F un feuilletage singulier σ – ensemble des courbes intégrales orientées d'un champ de vecteurs – et une multi-courbe Γ – union finie de courbes fermées, simples et disjointes. On dit que Γ *scinde* σ si σ est transversal à Γ et est porté par un champ de vecteurs qui, sur chaque composante de $F \setminus \Gamma$, ou bien dilate l'aire et sort le long de Γ, ou bien contracte l'aire et rentre le long de Γ. Une telle courbe, si elle existe et si σ est tangent à ∂F, est unique à isotopie près parmi les courbes qui scindent.

Les deux lemmes qui suivent sont démontrés dans [Gi1] pour les surfaces closes ; une fois les définitions posées, les démonstrations s'étendent sans difficulté au cas des surfaces à bord legendrien.

Lemme 5. *Soit F une surface compacte, orientée, proprement plongée dans (V, ξ) et à bord legendrien. Pour que F soit convexe, il faut et il suffit que ∂F possède un voisinage homogène sur ∂V et que ξF soit scindé par une multi-courbe. De plus, cette seconde condition est remplie dès que les propriétés suivantes sont satisfaites* :

- *chaque demi-orbite de ξF a pour ensemble limite une singularité ou une orbite fermée* ;
- *les orbites fermées de ξF sont toutes non dégénérées – i.e. hyperboliques* ;
- *aucune orbite de ξF ne va d'une singularité négative à une singularité positive.*

Comme on l'explique dans [Gi1], cette caractérisation montre que, si le bord de F est legendrien et possède un voisinage homogène sur ∂V, on peut rendre F convexe par une isotopie relative au bord et arbitrairement petite. Par ailleurs, quand F est convexe, le choix d'un voisinage homogène $U = F \times \mathbf{R}$ détermine une multi-courbe Γ_U qui scinde ξF : c'est l'ensemble des points de F où le vecteur ∂_t, $t \in \mathbf{R}$, appartient au plan ξ. Parmi toutes les multi-courbes qui scindent ξF, celles qui sont ainsi associées aux voisinages homogènes de F ont la particularité d'aboutir aux points de contact entre ξ et ∂V.

Lemme 6. *Soit $F \subset (V, \xi)$ une surface convexe, soit U un voisinage homogène de F et soit $\Gamma_U \subset F$ la multi-courbe associée à U.*
a) *L'espace $\mathcal{F}(F, \Gamma)$ des feuilletages singuliers de F qui sont scindés par Γ_U et tangents à ∂F est contractile.*
b) *Soit $\mathcal{P}(F, V)$ l'espace des plongements de F dans V qui coïncident avec l'inclusion sur ∂F. Il existe une application continue*

$$\begin{aligned} \mathcal{F}(F, \Gamma_U) &\longrightarrow \mathcal{P}(F, V) \\ \sigma &\longmapsto \psi_\sigma \end{aligned}$$

ayant les propriétés suivantes :

- *$\psi_{\xi F}$ est l'inclusion ;*
- *pour tout σ, la surface $\psi_\sigma(F)$ est incluse dans $U = F \times \mathbf{R}$ et transversale au champ de vecteurs ∂_t, $t \in \mathbf{R}$;*
- *pour tout σ, le feuilletage caractéristique de $\psi_\sigma(F)$ n'est autre que $\psi_{\sigma *}\sigma$.*

Sous les hypothèses du lemme ci-dessus et avec ses notations, on dira qu'un plongement quelconque $\psi \in \mathcal{P}(F, V)$ est *adapté à* Γ_U si le feuilletage caractéristique de $\psi(F)$ est scindé par $\psi(\Gamma_U)$.

Lemme 7. *Soit $F \subset (V, \xi)$ une surface convexe, Γ la multi-courbe sur F associée à un voisinage homogène quelconque, $\mathcal{P}(F, V; \Gamma)$ l'espace des plongements de F dans V adaptés à Γ et $\mathcal{P}(F, V; \xi)$ le sous-espace de ceux qui induisent le même feuilletage caractéristique que l'inclusion. Le plongement canonique de $\mathcal{P}(F, V; \xi)$ dans $\mathcal{P}(F, V; \Gamma)$ est une équivalence d'homotopie.*

Démonstration. Vu le lemme 6, il suffit d'associer continûment, à tout plongement $\psi \in \mathcal{P}(F, V; \Gamma)$, un champ de vecteurs de contact $X(\psi)$ sur (V, ξ) dont le flot soit transversal à $\psi(F)$ et plonge $\psi(F) \times \mathbf{R}$ dans V en envoyant $\partial\psi(F) \times \mathbf{R}$ dans ∂V. On fixe une métrique riemannienne et on choisit une fonction continue positive $d(\psi)$ telle que, pour tout $\psi \in \mathcal{P}(F, V)$, le $d(\psi)$-voisinage de $\psi(F)$ soit un tube. On note $\mathcal{X}(\psi)$, $\psi \in \mathcal{P}(F, V; \Gamma)$, l'espace des champs de vecteurs de contact transversaux à $\psi(F)$, tangents à ∂V et dont le support est confiné à l'intérieur du $d(\psi)$-voisinage de $\psi(F)$. Ainsi, le flot de tout champ $X \in \mathcal{X}(\psi)$ plonge $\psi(F) \times \mathbf{R}$ dans V et envoie $\partial\psi(F) \times \mathbf{R}$ dans ∂V. On peut alors prélever continûment un champ $X(\psi)$ dans $\mathcal{X}(\psi)$ pour les raisons suivantes :

- chaque espace $\mathcal{X}(\psi)$ est contractile – et non vide ;
- tout champ $X \in \mathcal{X}(\psi)$ appartient aussi à $\mathcal{X}(\psi')$ pour ψ' assez proche de ψ.

□

Les considérations ci-devant suggèrent qu'il est plus commode d'étudier la topologie de l'espace $\mathcal{P}(F, V; \xi)$ – et ainsi du groupe $\mathcal{D}(V, \partial V; \xi)$ – lorsque F est une surface convexe. Par ailleurs, cette propriété est génériquement satisfaite pour peu que F soit close ou que ∂F soit une courbe legendrienne et possède un voisinage homogène sur ∂V. Cette condition n'est bien sûr pas toujours remplie : il se peut même que ∂F ne soit isotope à aucune courbe legendrienne sur ∂V. Cependant la convexité – cette fois de ∂V – permet de contourner ce problème.

On suppose désormais que (V, ξ) est une variété de contact dont le bord est convexe ; comme ∂V n'a pas de bord, cette hypothèse n'est guère restrictive. On choisit un voisinage collier homogène

$$W = \partial V \times [0, \infty[\supset \partial V = \partial V \times \{0\}$$

et on note Δ la multi-courbe associée sur ∂V. On considère alors l'espace $\mathcal{SC}(V, \Delta)$ des structures de contact sur V pour lesquelles ∂V est convexe et a un feuilletage caractéristique scindé par Δ. Le point

est que la composante connexe de ξ dans $\mathcal{SC}(V,\Delta)$ contient une structure de contact pour laquelle ∂F est isotope à une courbe legendrienne ayant un voisinage homogène sur ∂V. C'est ce que garantit le lemme 6 : en effet, si $C \subset \partial V$ est une courbe isotope à ∂F dont chaque composante rencontre Δ, il existe sur ∂V un feuilletage singulier scindé par Δ et qui, sur un voisinage $C \times \mathbf{R}$ de $C = C \times \{0\}$, est tangent aux courbes $C \times \{t\}$, $t \in \mathbf{R}$ (voir [Gi1, exemple II.3.7] pour plus de détails). Ce fait est complété par le résultat suivant :

Proposition 8. *Le type d'homotopie du groupe $\mathcal{D}(V,\partial V;\xi)$ ne dépend que de la composante connexe de $\mathcal{SC}(V,\Delta)$ qui contient ξ.*

La démonstration utilise les notations et le lemme ci-dessous. Pour toute fonction $d\colon \partial V \to]0,\infty[$, on pose

$$W^d = \left\{(p,t) \in W = \partial V \times [0,\infty[\mid t \leq d(p)\right\}.$$

On désigne de plus par $\mathcal{P}(W^d,V;\xi)$ l'espace des plongements de contact de (W^d,ξ) dans (V,ξ) dont la restriction à ∂V est l'inclusion.

Lemme 9. *Quelle que soit la fonction $d\colon \partial V \to [0,\infty[$, l'espace $\mathcal{P}(W^d,V;\xi)$ est contractile.*

Démonstration. Pour tout plongement $\psi \in \mathcal{P}(W^d,V;\xi)$, le champ de vecteurs $\partial_t\psi$ – où t est la coordonnée dans $[0,\infty[$ – se prolonge à V en un champ de vecteurs $X(\psi)$ qui préserve ξ et varie continûment avec ψ. On considère alors les champs de vecteurs de contact

$$X_s = (1-s)X(\psi_0) + sX(\psi), \qquad s \in [0,1],$$

où ψ_0 désigne l'inclusion $W^d \to V$. L'intégration du champ X_s à partir de chaque point $p \in \partial V$ pendant un temps $d(p)$ fournit un plongement ψ_s de W^d dans V. Mieux, ψ_s est un plongement de contact de (W^d,ξ) dans (V,ξ). En effet, comme ψ préserve ξ et induit l'identité sur ∂V, les sections de TV/ξ définies par $X(\psi)$ et $X(\psi_0)$ coïncident en tout point de ∂V où le plan ξ est transversal à ∂V, donc sur un ouvert dense de ∂V. Il en résulte que les champs X_s induisent tous la même section de TV/ξ le long de ∂V, ce qui implique la propriété voulue. Les plongements ψ_s forment ainsi un chemin canonique joignant ψ_0 à ψ dans $\mathcal{P}(W^d,V;\xi)T$. □

Démonstration de la proposition 8. Pour toute fonction positive d sur ∂V, la restriction à W^d définit une application

$$\mathcal{D}(V,\partial V;\xi) \longrightarrow \mathcal{P}(W^d,V;\xi)$$

qui, vu les critères généraux de J. Cerf [Ce] et la flexibilité des isotopies de contact, est une fibration localement triviale. D'après le lemme 9, le groupe $\mathcal{D}(V,\partial V;\xi)$ se rétracte donc sur son sous-groupe $\mathcal{D}(V,W^d;\xi)$ formé des difféomorphismes qui valent l'identité sur W^d.

Soit maintenant ξ_s, $s \in [0,1]$, un chemin dans $\mathcal{SC}(V,\Delta)$ partant du point $\xi_0 = \xi$. Le lemme 6 et la méthode de J. Moser fournissent un plongement de contact ϕ de (V,ξ_1) dans (V,ξ) qui envoie ∂V dans W sur une surface transversale au champ de vecteurs ∂_t. Autrement dit, $\phi(\partial V)$ est, dans $W = F \times [0,\infty[$, le graphe d'une fonction $d\colon \partial V \to]0,\infty[$. D'autre part, l'ouvert $W_1 = \phi^{-1}(W)$ est un voisinage collier homogène de ∂V dans (V,ξ_1). De plus, pour toute fonction $e\colon \partial V \to]0,\infty[$,

$$W_1^e := (W_1)^e = \phi^{-1}(W^{d+e}).$$

Par conséquent, les groupes $\mathcal{D}(V,\partial V;\xi)$ et $\mathcal{D}(V,\partial V;\xi_1)$ se rétractent respectivement sur les sous-groupes $\mathcal{D}(V,W^{d+e};\xi)$ et $\mathcal{D}(V,W_1^e;\xi_1)$, sous-groupes entre lesquels ϕ induit clairement un homéomorphisme. □

B. Voisinages rétractiles et isotopies de contact

Dans cette partie, (V, ξ) désigne toujours une variété de contact de dimension 3, compacte et à bord convexe. On se donne en outre dans (V, ξ) une surface F, proprement plongée et convexe, et on note $\Gamma \subset F$ la multi-courbe associée à un voisinage homogène quelconque. Compte tenu des remarques générales de la partie A, on étudie maintenant l'espace $\mathcal{P}(F, V; \Gamma)$ des plongements adaptés à Γ. Cette étude s'inspire du travail de V. Colin [Co] sur les plongements des sphères. La clé de la démonstration des théorèmes principaux est ainsi le résultat suivant :

Proposition 10. *Soit $\psi \in \mathcal{P}(F, V; \Gamma)$, soit $\mathcal{C}$ la composante connexe de ψ dans $\mathcal{P}(F, V)$ et soit $\mathcal{C}(\Gamma)$ l'intersection de $\mathcal{C}$ avec $\mathcal{P}(F, V; \Gamma)$. Pour que $\mathcal{C}(\Gamma)$ soit connexe, il suffit qu'il connecte ψ à tout plongement $\psi' \in \mathcal{C}(\Gamma)$ qui a les propriétés suivantes :*

- $\psi'(F) \cap \psi(F) = \partial F$;
- *$\psi'(F) \cup \psi(F)$ borde dans V un domaine homéomorphe au produit $F \times \mathbf{D}^1$.*

Grâce à cette proposition, la connaissance des structures de contact sur le produit $F \times [0, 1]$ permet, dans certains cas, de prouver que $\mathcal{C}(\Gamma)$ est connexe. À titre d'exemple, on reproduit l'argument donné dans [Co] pour traiter le cas des sphères. On rappelle qu'une variété de contact (V, ξ) est dite *tendue* si aucun disque plongé dans V n'est tangent à ξ en tous les points de son bord.

Corollaire 11 (V. Colin). *Si la variété de contact (V, ξ) est tendue et si la surface F est une sphère, l'espace $\mathcal{C}(\Gamma)$ est connexe.*

Démonstration. Soit η une structure de contact sur $W = \mathbf{S}^2 \times [0, 1]$. Si (W, η) est tendue et à bord convexe, un théorème de Y. Eliashberg [El] (voir aussi [Gi2, lemme 2.17]) assure que η est isotope, relativement au bord, à une structure de contact pour laquelle toutes les sphères $\mathbf{S}^2 \times \{*\}$ sont convexes. Joint à la proposition 10, ce fait entraîne immédiatement le corollaire. □

La démonstration de la proposition 10 repose sur la notion de voisinages rétractiles.

Définition 12. Soit F_0 une surface compacte proprement plongée dans (V, ξ). On dira qu'un voisinage U_0 de F_0 est *rétractile* si, pour tout voisinage U de F_0, il existe une isotopie de contact $\phi_s \colon V \to V$, $s \in [0, 1]$, ayant les propriétés suivantes :

- $\phi_0 = \mathrm{id}$;
- $\phi_s \,|_{F_0} = \mathrm{id}$ pour tout $s \in [0, 1]$;
- $\phi_1(U_0) \subset U$.

L'exemple typique de voisinages rétractiles est le suivant :

Lemme 13. *Soit $U_0 = F_0 \times [-1, 1]$ un voisinage de $F_0 = F_0 \times \{0\}$. Si les surfaces $F_t = F \times \{t\}$, $t \neq 0$, sont toutes convexes, U_0 est un voisinage rétractile de F_0.*

Démonstration. On fabrique, pour $\varepsilon > 0$ donné, une isotopie de contact qui rétracte U_0 dans $F_0 \times [-\varepsilon, \varepsilon]$. Pour tout $t \neq 0$, comme F_t est convexe, il existe un champ de vecteurs de contact X_t transversal à F_t et tangent à ∂V. Quitte à changer X_t en son opposé, on suppose que X_t pointe vers F_0 le long de F_t. On se donne en outre un voisinage J_t de t dans $[-1, 1] \setminus \{0\}$ tel que chaque champ X_t reste transversal à $F_{t'}$ pour tout $t' \in J_t$. On extrait ensuite de la famille J_t un recouvrement fini $J_i = J_{t_i}$ de $[-1, -\varepsilon] \cup [\varepsilon, 1]$ et on prend une partition de l'unité f_i subordonnée à ce recouvrement. Le champ de vecteurs $\overline{X} = \sum f_i X_{t_i}$ ne préserve pas ξ mais, d'après la formule $(*)$, il diffère d'un champ de vecteurs de contact par un champ legendrien Y nul près de F_0 et tangent aux surfaces F_t ainsi qu'à ∂V. Il suffit alors d'intégrer le champ $\overline{X} + Y$ pendant un temps assez long pour obtenir l'isotopie de contact voulue. □

On démontre maintenant la proposition 10. L'ingrédient essentiel est le lemme ci-dessous qu'on admet provisoirement :

Lemme 14. *Tout chemin dans $\mathcal{P}(F,V)$ qui relie deux points de $\mathcal{P}(F,V;\Gamma)$ est homotope, relativement à ses extrémités, à un chemin de plongements dont les images ont chacune un voisinage rétractile.*

Démonstration de la proposition 10. Soit ψ_s, $s \in [0,1]$, un chemin dans $\mathcal{C}$ qui relie un point $\psi_0 \in \mathcal{C}(\Gamma)$ à $\psi_1 = \psi$. On construit ci-dessous un chemin ψ'_s dans $\mathcal{C}(\Gamma)$ qui joint $\psi'_0 = \psi_0$ à un plongement ψ'_1 dont l'image est disjointe de celle de ψ_1 et borde avec celle-ci un produit.

Pour tout $s \in [0,1]$, on pose $F_s = \psi_s(F)$. Grâce au lemme 14, il est possible de trouver des points $s_0 = 0 < s_1 < \cdots < s_k = 1$ tels que, pour $0 \leq i \leq k-1$, les surfaces F_s, $s \in [s_i, s_{i+1}]$ soient toutes incluses dans un voisinage rétractile U_i de F_{s_i}. Comme F_0 est convexe, on prend en fait pour U_0 un voisinage produit $F_0 \times [-1,1]$ dans lequel toutes les surfaces $F_0 \times \{t\}$ sont convexes. Si F est close, on pose

$$F'_s = F_0 \times \left\{ \tfrac{s}{s_1} \right\} \subset U_0 \quad \text{pour } s \in [0, s_1].$$

Si F a un bord, on se donne une fonction $f\colon F \to [0,1]$ qui vaut 0 sur ∂F et 1 hors du ε-voisinage de ∂F ; pour ε assez petit, les graphes des fonctions rf, $r \in [-1,1]$, sont convexes et couvrent la réunion des surfaces F_s, $s \in [0,s_1]$. On pose alors

$$F'_s = \left\{ \big(p, \tfrac{s}{s_1} f(p)\big),\ p \in F \right\} \subset U_0 \quad \text{pour } s \in [0, s_1].$$

Comme les surfaces F'_s sont convexes, il est possible de les paramétrer par des plongements $\psi'_s \in \mathcal{C}(\Gamma)$.

Maintenant, par hypothèse, F_{s_1} est contenue dans U_0 et U_1 est un voisinage rétractile de F_{s_1}. Il existe donc une isotopie de contact ϕ^1_r, $r \in [0,1]$, qui rétracte U_1 dans U_0. Quitte à changer le paramétrage en r, on suppose que ϕ^1_r, pour tout $r \in [0,1]$, envoie $F_{(1-r)s_1 + rs_2}$ dans U_0. On pose alors

$$F'_s = \big(\phi^1_r\big)^{-1}\big(F'_{s_1}\big) \quad \text{pour } s \in [s_1, s_2],$$
$$\text{où} \quad r = \frac{s - s_1}{s_2 - s_1}.$$

Par construction, chaque surface F'_s est disjointe de F_s et borde avec elle un produit. De plus, F'_s est convexe et se laisse donc paramétrer par un plongement $\psi'_s \in \mathcal{C}(\Gamma)$. On continue en observant que F_{s_2} est incluse dans $U^1 = (\phi^1_1)^{-1}(U_0)$. On rétracte U_2 dans U^1 par une isotopie de contact ϕ^2_r qui, pour tout $r \in [0,1]$, envoie $F_{(1-r)s_2 + rs_3}$ dans U^1. On définit alors F'_s par une formule du même type que ci-dessus et on obtient le chemin ψ'_s tout entier en répétant k fois l'opération. □

Démonstration du lemme 14. Soit ψ_s, $s \in [0,1]$, un chemin dans $\mathcal{P}(F,V)$. On peut trouver des points $s_0 = 0 < s_1 < \cdots < s_k = 1$ tels que, pour $0 \leq i \leq k-1$, les surfaces F_s, $s \in [s_i, s_{i+1}]$, soient toutes contenues dans un domaine produit[2] $U_i \simeq F \times [-1,1]$ plongé dans V. On note alors F^i une des deux copies de F qui forment ∂U_i. Maintenant, pour $s \in [s_i, s_{i+1}]$, on remplace l'isotopie ψ_s par une isotopie ψ'_s dont les images, pour $s \leq (s_i + s_{i+1})/2$ (resp. $s \geq (s_i + s_{i+1})/2$), balaient le produit que bordent $\psi_{s_i}(F)$ et F^i (resp. F^i et $\psi_{s_{i+1}}(F)$). Grâce à cette astuce empruntée à V. Colin [Co] et au lemme 13, il suffit d'établir le résultat suivant :

Lemme 15. *Soit ξ une structure de contact sur $W = F \times [-1,1]$. Si le bord de (W,ξ) est convexe, il existe une isotopie relative au bord $\phi_s\colon W \to W$, $s \in [0,1]$, telle que toutes les surfaces $\phi_1(F \times \{t\})$ soient convexes, sauf un nombre fini qui portent un feuilletage caractéristique ayant les propriétés suivantes :*

– *les singularités et les orbites fermées sont toutes non dégénérées (c'est-à-dire hyperboliques) ;*

[2] À strictement parler, il faut considérer ici des *produits pincés* $U_i \simeq F \times_\partial [-1,1]$, où le terme [Ha2] et la notation désignent le quotient de $F \times [-1,1]$ par la relation qui écrase sur un point chaque segment $\{p\} \times [-1,1]$, $p \in \partial F$. On laisse au lecteur le soin de faire les quelques ajustements nécessaires.

– *l'ensemble limite de chaque demi-orbite est une singularité ou une orbite fermée* ;

– *une orbite et une seule va d'une selle négative vers une selle positive.*

La démonstration de ce lemme repose sur les techniques de [Gi2] et passe par une construction explicite d'isotopies :

Lemme 16. *On considère sur* $\mathbf{R}^3$ *la structure de contact d'équation* $dz + x\,dy = 0$ *et on se donne trois nombres* $a, b, c \in]0,1[$. *Il existe une fonction* $f\colon \mathbf{R}^3 \to \mathbf{R}$, *à support dans* $[1-a, 1+a] \times [b,b] \times [-c,c]$, *ayant les propriétés suivantes* :

– $f(x,0,z) = 0$ *pour tout* $x, z \in \mathbf{R}$;

– *les transformations* $\phi_s\colon \mathbf{R}^3 \to \mathbf{R}^3$, $s \in [0,1]$, *définies par*

$$\phi_s(x,y,z) = \big(x, y, z + sf(x,y,z)\big)$$

forment une isotopie ;

– *pour tout* s *et tout* z, *le feuilletage caractéristique de* $\phi_s(\mathbf{R}^2 \times \{z\})$ *n'a aucune singularité hors de l'axe* $\{y = 0\}$, *en a au plus deux sur cet axe et exactement deux si* $s = 1$ *et* $z = 0$.

Démonstration. On pose $f(x,y,z) = -u(x)v(y)w(z)$ où u, v et w sont des fonctions qui remplissent les conditions ci-dessous et sont nulles près du bord de leurs domaines respectifs :

– $u\colon [1-a, 1+a] \to [0,2]$ a un graphe qui, vu dans $\mathbf{R}^2$, rencontre la diagonale en deux points et est strictement croissant-et-concave entre eux ;

– $u\colon [-b,b] \to [-c/4, c/4]$ s'annule en 0 avec dérivée 1 mais est non nulle et a une dérivée strictement inférieure à 1 en tout autre point à l'intérieur de son support ;

– $w\colon [-c,c] \to [0,1]$ vaut 1 près de 0 et sa dérivée est partout bornée par $2/c$ en valeur absolue.

Le feuilletage caractéristique de la surface $\phi_s(\mathbf{R}^2 \times \{z\})$ est alors engendré, à la source, par le champ de vecteurs

$$\big(x - su(x)v'(y)w(z)\big)\,\partial_x + su'(x)v(y)w(z)\,\partial_y$$

et on vérifie sans peine que les propriétés souhaitées sont satisfaites. □

Démonstration du lemme 15. Le lemme 2.10 et la remarque 2.11 de [Gi2] permettent de supposer que les valeurs de t pour lesquelles F_t n'est pas convexe constituent un compact dénombrable $\Sigma \subset [-1,1]$ et que, pour tout $t \in \Sigma$, le feuilletage caractéristique ξF_t a les propriétés suivantes :

1) les singularités de ξF_t sont toutes non dégénérées ;
2) chaque demi-orbite de ξF_t a pour ensemble limite une singularité ou une orbite fermée ;
3) ξF_t a exactement une orbite "exceptionnelle" qui ou bien va d'une selle négative à une selle positive ou bien se referme avec une holonomie tangente à l'identité mais dont la dérivée seconde est non nulle ;
4) F_t est partagée en deux sous-surfaces planaires F_t^+ et F_t^- (non nécessairement connexes) et, le long du bord commun, ξF_t sort de F_t^+ pour entrer dans F_t^-.

Dans ces conditions, les points $t_0 \in \Sigma$ pour lesquels ξF_{t_0} a une orbite fermée dégénérée forment un ensemble Σ_1 fini. En effet, vu la propriété 4), cette orbite fermée C_{t_0} est entièrement contenue dans $F_{t_0}^+$ ou dans $F_{t_0}^-$ et sépare ladite région. Par suite, aucune orbite de ξF_{t_0} partant de C_{t_0} ne revient vers C_{t_0}. Compte tenu des propriétés 1) et 2), si un feuilletage ξF_t présente alors une orbite fermée dégénérée pour t voisin de t_0, celle-ci reste dans un voisinage de C_{t_0}. Or le lemme 2.12 de [Gi2] exclut cette éventualité pour $t \neq t_0$.

Soit maintenant t_0 un point de Σ_1 et soit A_{t_0} un voisinage de C_{t_0} dans lequel ξF_{t_0} est non singulier, transversal au bord et sans autre orbite fermée que C_{t_0}. On se donne un nombre $\varepsilon > 0$ tel que tout feuilletage ξF_t, $t \in [t_0 - \varepsilon, t_0 + \varepsilon]$, satisfasse aux conditions suivantes :

5) ξF_t est transversal à ∂A_{t_0} et à $\partial F_{t_0}^{\pm}$ (on identifie ici F_t à F_{t_0} via la projection sur F) ;

6) les singularités de ξF_t sont toutes non dégénérées de même que les orbites fermées situées hors de A_{t_0}.

Soit p_- et p_+ deux points de C_{t_0}. Sur un voisinage $U_\pm$ de $p_\pm$, on peut trouver des coordonnées $(x, y, z) \in \pm[1-a, 1+a] \times [-b, b] \times [-c, c]$ (où a, b et c sont des réels positifs petits) dans lesquelles :

7) la 1-forme $\pm(dz - x\,dy)$ définit et cooriente ξ sur $U_\pm$;

8) le paramètre t est une fonction croissante de la seule coordonnée z (et du signe $\pm$) qui vaut t_0 pour $z = 0$;

9) l'holonomie du feuilletage caractéristique ξF_{t_0} entre les segments $T_- = \{-1+A\} \times [-b, b] \times \{0\} \subset U_-$ et $T_+ = \{1-a\} \times [-b, b] \times \{0\} \subset U_+$ respecte la coordonnée y.

On prend alors pour ϕ_s, $s \in [0, 1]$, une isotopie à support dans $U_+ \cup U_-$ et de la forme

$$\phi_s(x, y, z) = \big(x, y, z \pm sf(\pm x, y, \pm z)\big), \qquad (x, y, z) \in U_\pm,$$

où f est une fonction fournie par le lemme 16. Par construction, le feuilletage caractéristique $\xi\,\phi_1(F_{t_0})$ ne possède plus d'orbite fermée dans $\phi_1(A_{t_0})$ mais présente une orbite qui va d'une selle négative à une selle positive. La propriété 9) et la symétrie de l'isotopie ϕ_s permettent en outre de contrôler entièrement le type topologique de ce feuilletage. Le lemme 2.12 de [Gi2] décrit alors les feuilletages $\xi\,\phi_1(F_t)$ pour t voisin de t_0 et assure notamment que la modification effectuée n'introduit aucune orbite fermée dégénérée pour $t \in [t_0 - \varepsilon, t_0 + \varepsilon]$. □

C. Démonstration des théorèmes

Les théorèmes 1, 3 et 4 ont pour souche commune le résultat suivant, dû à Y. Eliashberg [El] :

Théorème 17 (Y. Eliashberg). *Pour toute structure de contact tendue ξ sur la boule $\mathbf{D}^3$, le groupe $\mathcal{D}(\mathbf{D}^3, \partial\mathbf{D}^3; \xi)$ est connexe – et même contractile.*

Démonstration. D'après le théorème 2.4.2 de [El], l'espace $\mathcal{SCT}(\mathbf{D}^3; \xi)$ des structures de contact tendues sur $\mathbf{D}^3$ qui coïncident avec ξ le long du bord est contractile. D'autre part, le groupe $\mathcal{D}(\mathbf{D}^3, \partial\mathbf{D}^3)$ agit sur $\mathcal{SCT}(\mathbf{D}^3; \xi)$ et la méthode de J. Moser montre que cette action, restreinte au point ξ, définit une fibration

$$\mathcal{D}(\mathbf{D}^3, \partial\mathbf{D}^3) \longrightarrow \mathcal{SCT}(\mathbf{D}^3; \xi)$$

dont la fibre n'est autre que $\mathcal{D}(\mathbf{D}^3, \partial\mathbf{D}^3; \xi)$. Le fait que ce groupe soit connexe (resp. contractile) découle alors du théorème de J. Cerf [Ce] (resp. du théorème de A. Hatcher [Ha1]) qui affirme que $\mathcal{D}(\mathbf{D}^3, \partial\mathbf{D}^3)$ est connexe (resp. contractile). □

On désigne désormais par S une surface compacte, connexe et orientable, par $\pi\colon V \to S$ le fibré des éléments de contact coorientés sur S et par $\xi = \xi_S$ la structure de contact canonique sur V.

Démonstration du théorème 1 : cas du groupe $\mathcal{D}(V, \partial V; \xi)$

On suppose d'abord que S est le disque unité $\mathbf{D}^2$ de $\mathbf{R}^2$ et on assimile V au tore plein $\mathbf{D}^2 \times \mathbf{R}/2\pi\mathbf{Z}$ en repérant chaque droite tangente à S en un point (x_1, x_2) par l'angle θ de sa normale directe avec l'axe des x_1. La structure de contact ξ a alors pour équation de Pfaff

$$\cos\theta\,dx_1 + \sin\theta\,dx_2 = 0, \qquad (x_1, x_2, \theta) \in \mathbf{R}^2 \times \mathbf{R}/2\pi\mathbf{Z}.$$

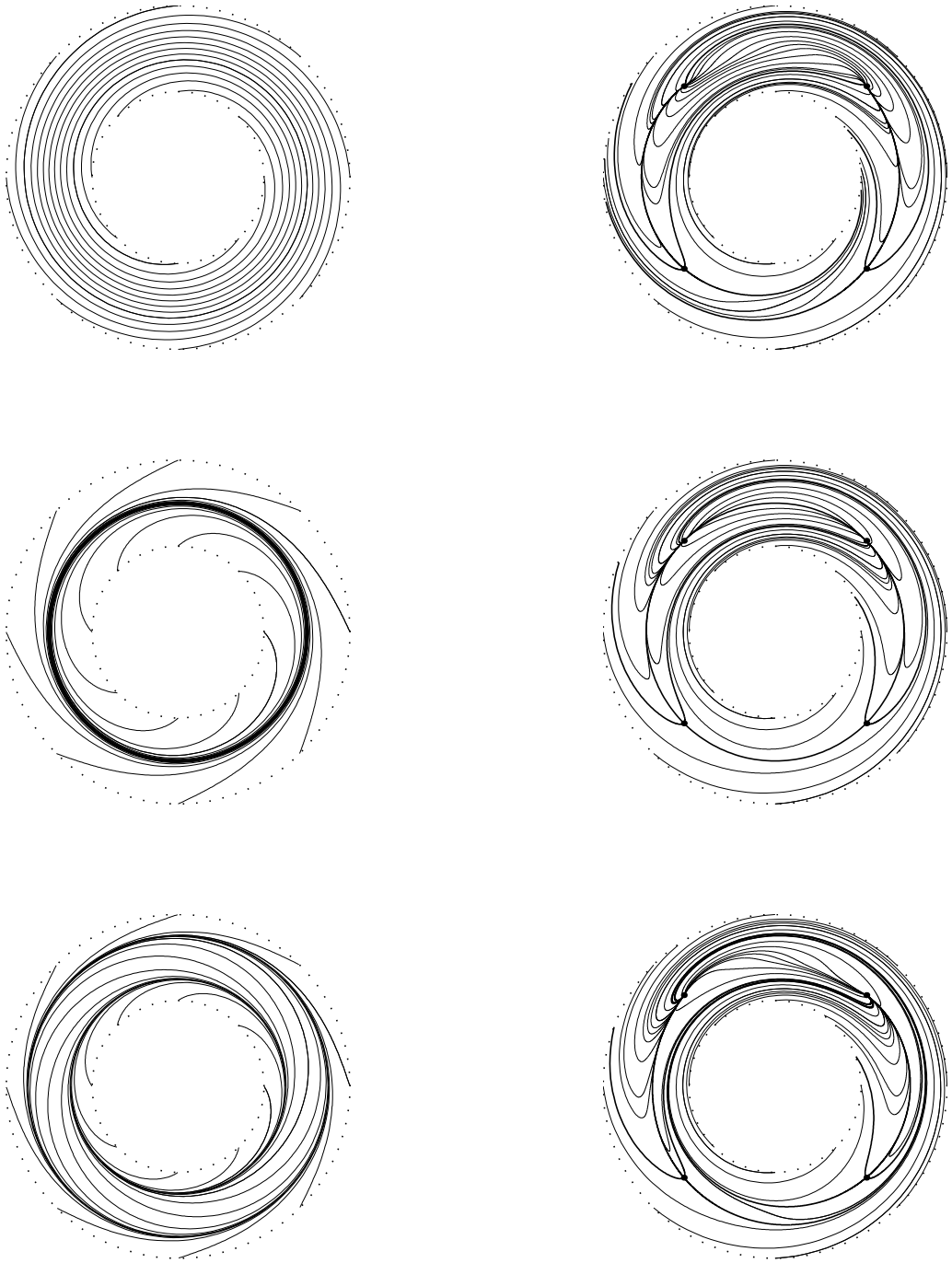

FIG. 2: La partie gauche montre le feuilletage caractéristique de F_t dans l'anneau A_{t_0} pour $t < t_0$ (en haut), $t = t_0$ (au centre) et $t > t_0$ (en bas). La partie droite affiche en regard le feuilletage de $\phi_1(F_t)$. Une bifurcation organisée autour d'une connexion de selles remplace la naissance de deux orbites fermées.

Le groupe $\mathcal{D}(S, \partial S)$ est connexe (contractile d'après [Sm]) et il faut donc montrer qu'il en est de même du groupe $\mathcal{D}(V, \partial V; \xi)$. Pour cela, on note $D \subset V$ le disque méridien $\{\theta = 0\}$ et on considère la fibration

$$\mathcal{D}(V, \partial V; \xi) \longrightarrow \mathcal{P}(D, V; \xi)\,.$$

La fibre s'identifie au groupe $\mathcal{D}(\mathbf{D}^3, \partial \mathbf{D}^3; \xi)$ qui est connexe d'après le théorème 17. Par suite, il suffit de voir que l'espace $\mathcal{P}(D, V; \xi)$ est connexe. Malheureusement, D n'est pas convexe : le bord de V ne porte aucune courbe legendrienne isotope à ∂D. On recourt donc à la proposition 8 ; le bord de V est en effet convexe et son feuilletage caractéristique est scindé par la bi-courbe

$$\Delta = \big\{(\cos\varphi, \sin\varphi, \theta) \in \partial \mathbf{D}^2 \times \mathbf{R}/2\pi\mathbf{Z} \mid \sin(\theta - \phi) = 1\big\}.$$

Pour plus de commodité, on change les variables x_1, x_2 en

$$\begin{aligned} x &= \cos\theta\, x_1 + \sin\theta\, x_2, \\ y &= -\sin\theta\, x_1 + \cos\theta\, x_2\,. \end{aligned}$$

On pose ensuite

$$\begin{aligned} \alpha_0 &= dx - y\, d\theta = \cos\theta\, dx_1 + \sin\theta\, dx_2, \\ \alpha_1 &= (1 - y^2)\, dx + xy\, dy - y\, d\theta, \\ \text{et} \quad \alpha_s &= (1 - s)\alpha_0 + s\alpha_1, \quad s \in [0, 1]\,. \end{aligned}$$

Les structures de contact $\xi_s = \ker \alpha_s$ forment alors un chemin dans $\mathcal{SC}(V, \Delta)$ issu de $\xi_0 = \xi$. Elles sont ainsi toutes tendues. De plus, le disque D est convexe dans (V, ξ_1) et son feuilletage caractéristique (figure 3) est scindé par la courbe $\Gamma = \{y = 0\} \subset D$. Il reste à prouver que $\mathcal{P}(D, V; \xi_1)$ est connexe. Compte tenu du lemme 7, de la proposition 10 et de la connexité de $\mathcal{P}(D, V)$ [Wa], il suffit de montrer que, si un plongement $\psi \in \mathcal{P}(D, V; \Gamma)$ a une image disjointe de D sauf au bord – $D \cup \psi(D)$ borde alors automatiquement une "boule pincée" –, il est isotope à l'inclusion parmi les plongements adaptés à Γ. Cela découle de la classification des structures de contact tendues sur la boule [El] : toute structure de contact tendue sur $\mathbf{D}^2 \times_\partial [0, 1]$ pour laquelle les deux disques $\mathbf{D}^2 \times \{0\}$ et $\mathbf{D}^2 \times \{1\}$ sont convexes est isotope, relativement au bord, à une structure de contact pour laquelle tous les disques $\mathbf{D}^2 \times \{t\}$, $t \in [0, 1]$, sont convexes.

Avant de démontrer le théorème 1 pour les autres surfaces, on fait deux observations générales.

Lemme 18. *Soit $C \subset S$ une courbe simple, fermée ou propre. L'image inverse $F = \pi^{-1}(C) \subset V$ est une surface convexe.*

Dans la suite, on note $\Gamma \subset F$ la multi-courbe associée à un voisinage homogène quelconque de F. La courbe Γ a deux composantes connexes et chacune d'elles se projette homéomorphiquement sur C.

Démonstration. Il existe sur S un champ de vecteurs $\overline{X}$ transversal à C dont le flot plonge $C \times \mathbf{R}$ dans S en envoyant $\partial C \times \mathbf{R}$ dans ∂S. Ce champ $\overline{X}$, comme tout champ de vecteurs sur S, se relève en un champ de vecteurs X sur V qui préserve ξ_S. L'image de $F \times \mathbf{R}$ par le flot de X est un voisinage homogène de F. □

Lemme 19. *Soit $C \subset S$ une courbe simple essentielle, fermée ou propre, soit $F = \pi^{-1}(C)$ et soit $\psi \in \mathcal{P}(F, V; \Gamma)$. Si $\psi(F)$ est isotope à F, comme surface lisse et relativement au bord, la courbe $\psi(\Gamma)$ est isotope à Γ relativement au bord. De plus, si ψ est isotope à l'inclusion dans $\mathcal{P}(F, V)$, il l'est aussi dans $\mathcal{P}(F, V; \Gamma)$.*

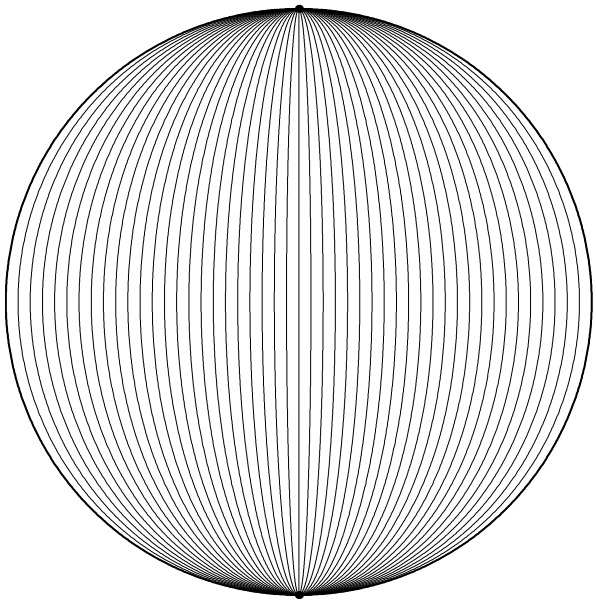

FIG. 3: Feuilletage caractéristique du disque méridien D dans (V, ξ_1).

Démonstration. Soit $\widetilde{S}$ le revêtement de S associé à la courbe C et $\widetilde{C}$ un relèvement compact de C dans $\widetilde{S}$; si C est un arc, $\widetilde{S}$ est le revêtement universel de S. Par naturalité, le fibré $\widetilde{\pi}\colon \widetilde{V} \to \widetilde{S}$ des éléments de contact au-dessus de $\widetilde{S}$ n'est autre que le rappel du fibré $\pi\colon V \to S$ au-dessus de $\widetilde{S}$. On note $\widetilde{\xi}$ la structure de contact canonique de $\widetilde{V}$ et on pose $\widetilde{F} = \widetilde{\pi}^{-1}(\widetilde{C})$.

Toute isotopie F_s, $s \in [0,1]$, entre $F_0 = F$ et $F_1 = \psi(F)$ se relève en une isotopie $\widetilde{F}_s$ entre $\widetilde{F}_0 = \widetilde{F}$ et une surface $\widetilde{F}_1$ qui est convexe dans $(\widetilde{V}, \widetilde{\xi})$. De plus, on peut trouver dans $\widetilde{S}$ un domaine produit

$$R = \widetilde{C} \times \mathbf{R} \supset \widetilde{C} = \widetilde{C} \times \{0\}, \quad \text{avec} \quad \partial R = \partial \widetilde{C} \times \mathbf{R} \subset \partial \widetilde{S},$$

qui renferme toutes les projections des surfaces $\widetilde{F}_s$, $s \in [0,1]$. Le domaine $U = \widetilde{\pi}^{-1}(R)$ est un voisinage homogène de $\widetilde{F}$ qui contient $\widetilde{F}_1$. L'inégalité de Bennequin semi-locale [Gi3, proposition 4.10] montre alors que les courbes qui scindent $\widetilde{\xi}\widetilde{F}_1$ sont isotopes à celles qui scindent $\widetilde{\xi}\widetilde{F}$. Par suite, $\psi(\Gamma)$ est isotope à Γ.

On suppose maintenant que ψ est isotope à l'inclusion dans $\mathcal{P}(F, V)$. Pour voir qu'il l'est aussi dans $\mathcal{P}(F, V; \Gamma)$, il suffit, d'après la proposition 10, de regarder le cas où $\psi(F)$ est disjoint de F (sauf au bord) et borde avec F un produit pincé $W \simeq F \times_\partial [0,1]$. Dans ce cas, les arguments ci-dessus montrent que (W, ξ) se plonge dans le voisinage homogène $(U, \widetilde{\xi})$. Il résulte alors de la classification des structures de contact sur le tore épais (si C est une courbe fermée) et sur le tore plein (si C est un arc) que la structure de contact induite par ξ sur $F \times_\partial [0,1] \simeq W$ est isotope, relativement au bord, à une structure de contact pour laquelle toutes les surfaces $F \times \{t\}$, $t \in [0,1]$, sont convexes. □

On reprend maintenant la démonstration du théorème 1 et on suppose que la surface S n'est ni une sphère, ni un tore. On procède par récurrence sur l'entier $n(S) = -2\chi(S) - \beta(S)$ où $\chi(S)$ est la caractéristique d'Euler de S et $\beta(S)$ le nombre de composantes connexes de ∂S. On prend dans S une courbe simple non séparante C, fermée ou propre, et on note S' la surface obtenue en découpant S le long de C ; ainsi, $n(S') < n(S)$.

Soit $\phi_0 \in \mathcal{D}(V, \partial V; \xi)$. Un théorème de F. Waldhausen [Wa] assure que ϕ_0 est isotope, dans $\mathcal{D}(V, \partial V)$, à un difféomorphisme fibré ϕ_1. On note $\overline{\phi}_1$ le difféomorphisme de S sur lequel ϕ_1 se projette et on pose $\phi = D(\overline{\phi}_1)^{-1} \circ \phi_0$. En vertu des lemmes 18, 19 et 7, ϕ est isotope, dans $\mathcal{D}(V, \partial V; \xi)$ à une transformation de contact ϕ' qui induit l'inclusion sur la surface $F = \pi^{-1}(C)$. En outre, la variété de contact (V', ξ') obtenue en découpant (V, ξ) le long de F s'identifie à la variété des éléments de contact au-dessus de S'. L'hypothèse de récurrence permet dès lors de conclure.

Démonstration du théorème 1 : cas du groupe $\mathcal{D}(V; \xi)$

Chaque difféomorphisme $\phi \in \mathcal{D}(V; \xi)$ préserve le feuilletage caractéristique de ∂V, donc les fibres de la projection $\partial V \to \partial S$ qui sont legendriennes. Comme toute isotopie de ∂V qui laisse invariant le feuilletage caractéristique s'étend en une isotopie de contact, on peut déformer ϕ dans $\mathcal{D}(V; \xi)$ en une transformation qui coïncide, sur ∂V, avec la différentielle d'un difféomorphisme de S. On applique alors le résultat sur $\mathcal{D}(V, \partial V; \xi)$ pour conclure.

Démonstration du théorème 1 : cas du groupe $\mathcal{D}(\operatorname{Int} V; \xi)$

Soit $\phi \in \mathcal{D}(\operatorname{Int} V; \xi)$. Les résultats de F. Waldhausen [Wa] joints à l'inégalité de Bennequin semi-locale [Gi3] assurent, comme dans le lemme 19, que ϕ est isotope dans $\mathcal{D}(\operatorname{Int} V)$ à la différentielle d'un difféomorphisme de S. Quitte à composer ϕ avec l'inverse de celle-ci, on suppose que ϕ est isotope à l'identité dans $\mathcal{D}(\operatorname{Int} V)$. On choisit dans S un voisinage collier du bord

$$R = \partial S \times [0, \infty[\supset \partial S = \partial S \times \{0\}$$

et on pose $U = \pi^{-1}(R)$. Le champ de vecteurs ∂_t, $t \in \mathbf{R}$, donné sur R par la structure produit se relève en un champ de vecteurs de contact qui fait de U un voisinage collier homogène de ∂V. Pour $t_0 > 0$ assez petit, l'image par ϕ du multi–tore

$$F = \partial V \times \{t_0\} \subset U = \partial V \times [0, \infty[$$

est contenue dans U et les mêmes arguments que dans la démonstration du lemme 19 et de la proposition 8 montrent que ϕ est isotope, dans $\mathcal{D}(\operatorname{Int} V; \xi)$, à une transformation de contact ϕ' qui coïncide avec l'identité sur un voisinage de F. On choisit alors sur S un champ de vecteurs $\overline{X}$ ayant les propriétés suivantes :

- $\overline{X} = 0$ hors de $\partial S \times [0, t_0 + \varepsilon] \subset R$ où $\varepsilon > 0$ est pris assez petit pour que ϕ' induise l'identité sur $\partial V \times [t_0, t_0 + \varepsilon]$;
- $\overline{X} = f(t)\partial_t$ sur $\partial S \times [0, t_0 + \varepsilon]$ où f est une fonction strictement négative sur l'intérieur de $[t_0, t_0 + \varepsilon]$ et nulle au bord.

On note X le champ de vecteurs de contact sur V qui relève $\overline{X}$ et τ_s, $s \in \mathbf{R}$, le flot de X. Les transformations de contact

$$\phi_s = \tau_s \circ \phi' \circ \tau_{-s}, \qquad s \in [0, \infty],$$

constituent un chemin dans $\mathcal{D}(\operatorname{Int} V; \xi)$ qui relie $\phi_0 = \phi'$ à un difféomorphisme égal à l'identité près du bord. On applique alors le résultat sur $\mathcal{D}(V, \partial V; \xi)$ pour conclure.

Démonstration du théorème 3

Soit C une courbe fermée simple sur $S = \mathbf{S}^2$, soit F le tore convexe $\pi^{-1}(C) \subset (V, \xi)$ et soit Γ une multi-courbe qui scinde ξF. Le tore F partage $V \simeq \mathrm{SO}_3$ en deux tores pleins $W_\pm$ et chaque composante connexe de Γ rencontre homologiquement une fois le méridien de $W_\pm$. Soit maintenant $\phi \in \mathcal{D}(V;\xi)$. D'après le théorème de J. Cerf [Ce], ϕ est isotope à l'identité dans $\mathcal{D}(V)$. Pour voir qu'il l'est aussi dans $\mathcal{D}(V;\xi)$, il suffit, vu le théorème 1, de montrer que $\phi\,|_F$ est isotope à l'inclusion dans $\mathcal{P}(F, V; \Gamma)$. Compte tenu de la proposition 10, on peut supposer que $\phi(F)$ est disjoint de F et borde avec F un produit $W \simeq F \times [0,1]$. Il découle alors de la classification des structures de contact sur le tore épais [Gi2] que $\phi(F)$ est isotope à F parmi les tores convexes.

Démonstration du théorème 4

Le fait que l'image du morphisme

$$\pi_0 \mathcal{D}(\mathbf{T}^3, \xi) \longrightarrow \mathrm{SL}_3(\mathbf{Z})$$

soit exactement le groupe Π est démontré dans [EP]. L'injectivité du morphisme résulte du lemme 19 comme le théorème 1.

Références

[Ar] V. Arnold, *Topological invariants of plane curves and caustics.* Univ. Lectures Series **5**, Amer. Math. Soc. 1994.

[Ce] J. Cerf, *Sur les difféomorphismes de la sphère de dimension trois* ($\Gamma_4 = 0$). Lecture Notes in Math. **53**, Springer 1968.

[Co] V. Colin, *Chirurgies d'indice un et isotopies de sphères dans les variétés de contact tendues.* C. R. Acad. Sci. Paris Sér. I Math. **324** (1997), 659–663.

[El] Y. Eliashberg, *Contact* 3*-manifolds, twenty years since J. Martinet's work.* Ann. Inst. Fourier **42** (1992), 165–192.

[EP] Y. Eliashberg et L. Polterovich, *New applications of Luttinger's surgery.* Comment. Math. Helv. **69** (1994), 512–522.

[Gi1] E. Giroux, *Convexité en topologie de contact.* Comment. Math. Helv. **66** (1991), 637–677.

[Gi2] E. Giroux, *Structures de contact en dimension trois et bifurcations des feuilletages de surfaces.* Invent. Math. **141** (2000), 615–689.

[Gi3] E. Giroux, *Structures de contact sur les variétés fibrées en cercles au-dessus d'une surface.* À paraître dans Comment. Math. Helv. (prépublication 1999, `math.GT/9911235`).

[Ha1] A. Hatcher, *A proof of a Smale conjecture,* $\mathrm{Diff}(\mathbf{S}^3) \simeq \mathrm{O}(4)$. Ann. of Math. **117** (1983), 553–607.

[Ha2] A. Hatcher, *Spaces of incompressible surfaces.* Prépublication 1999, `math.GT/9909074`.

[Ho] K. Honda, *Gluing tight contact structures.* Prépublication 2000, `www.math.uga.edu/~honda`.

[Po] L. Polterovich, *An obstruction to conservation of volume in contact dynamics.* Prépublication 2000, `math.GT/0009227`.

[Sm] S. Smale, *Diffeomorphisms of the* 2*-sphere.* Proc. Amer. Math. Soc. **10** (1959), 621–626.

[Wa] F. Waldhausen, *On irreducible* 3*-manifolds which are sufficiently large.* Ann. of Math. **87** (1968), 56–88.

Emmanuel Giroux
Unité de Mathématiques Pures et Appliquées
École Normale Supérieure de Lyon
46, allée d'Italie
69364 Lyon cedex 07, France